

**И. Рazzаков атындагы Кыргыз мамлекеттик  
техникалык университети**  
**Б. Ельцин атындагы Кыргыз-Россия Славян  
университети**

Д 01.25.711 Диссертациялык кеңеши

Кол жазма укугунда  
**УДК:532.542.4**

**Абдимуталипова Зейнурा Каныбековна**

**СТРУЯЛЫК ТУРБУЛЕНТТИК АГЫМДАРДЫ САНДЫК  
МОДЕЛДЕШТИРҮҮ**

01. 02.05 – суюктуктун, газдын жана плазманын механикасы адистиги

физика-математика илимдеринин кандидаты  
окумуштуулук даражасын изденип алуу үчүн  
жазылган диссертациянын  
**авторефераты**

**Бишкек-2025**

Диссертациялык иш Ош мамлекеттик университетинин  
Эксперименталдык жана теориялык физика кафедрасында аткарылды

**Илимий жетекчи:** **Курбаналиев Абдикерим Ырысбаевич**, физика-  
математика илимдеринин доктору, профессор, Ош  
мамлекеттик университетинин математика жана  
табигый илимдер кафедрасынын башчысы.

**Расмий  
оппоненттери:** **Бекетаева Асель Орозалиевна**, физика-  
математика илимдеринин доктору, Аль-Фараби  
атындағы Казак улуттук университетинин  
математикалық жана компьютердик моделдөө  
кафедрасынын доценти.

**Исабеков Кубатбек Абдыкеримович**, физика-  
математика илимдеринин кандидаты,  
К.Тыныстанов атындағы Ысық-Көл мамлекеттик  
университетинин математика, информатика жана  
билим берүү технологиялары кафедрасынын  
доценти, Каракол шаары.

**Жетектоөчү мекеме:** «К.И.Сатпаев атындағы Казак улуттук илимий-  
техникалық университети» АҚ, Казакстан  
Республикасы, Алматы, 050043, көч. Сатпаев,  
22.

Диссертацияны коргоо 2025-жылдын 15-майында saat 14:30да Кыргыз  
мамлекеттик техникалық университетинде илимдин кандидаты илимий  
даражасын алуу үчүн диссертацияларды коргоо боюнча Д 01.25.711  
диссертациялык кеңешинин отурумунда болот. И.Раззакова жана Кыргыз -  
Орус Славян университети. Б.Ельцин дареги боюнча: 720044, Кыргыз  
Республикасы, Бишкек шаары, Ч.Айтматов пр., 66, КМТУ. И.Раззакова, (КАЗ,  
кабинет 1/257).

Диссертацияны коргоо боюнча видеоконференцияга кириүү шилтемеси:  
<https://vc.vak.kg/b/012-scz-oh6-lwn>

Диссертация менен И.Раззаков атындағы Кыргыз мамлекеттик  
техникалық университетинин китеңканаларынан таанышууга болот: 720044,  
Кыргыз Республикасы, Бишкек шаары, Ч.Айтматов пр., 66 жана Б. Ельцин  
атындағы КРСУ дареги боюнча: 720000, Кыргыз Республикасы, Бишкек ш.,  
көч. Киев 44. Ошондой эле [www.vak.kg](http://www.vak.kg) сайтынан да таанышууга мүмкүн.

Автореферат тийиштүү тарараптарга 2025-жылдын 9-апрелинде таратылып  
берилген.

Диссертациялык кеңештин  
окумуштуу катчысы, физика-  
математика илимдеринин  
кандидаты, доцент



Доталиева Ж.Ж.

## **ИЗИЛДӨӨНҮН ЖАЛПЫ МУНӨЗДӨМӨСҮ**

**Диссертациянын темасынын актуалдуулугу.** Азыркы учурда аба алмашууну аныктоо жана абанын бөлүштүрүлүшүн эсептөө маселелерин комплекстүү чечүү принциби өзгөчө актуалдуу болуп саналат. Бул маселелерди механикалык желдетилген оорукана палаталарындагы агым процесстеринин мыйзамченемдүүлүктөрүнө жана жылуулук алмашуу процесстеринин жакындастылган математикалык моделдерине таянып чечүү зарыл. Желдетилген бөлмөдөгү ылдамдык жана температуралык талаалардын калыптанышынын мыйзамченемдүүлүктөрүн аныктоо үчүн үч өлчөмдүү Навье–Стокс тенденциелерине негизделген эсептөөчү гидродинамиканын ықмалары күчтүү колдонмопук программалык пакеттер менен бирге кеңири колдонулат.

Турбуленттик струялык агымдын теориясынын негиздери Г.Н Абрамовичтин (2011), И.А. Беловдун (2001), А.С Гиневскийдин (1969), Д.Купердин(1993), П.Г.Фриктин (2003), А.А Юндун (2010), Б.Свейндин (2019) эмгектеринде берилген.

Инфекциялык бөлмөлөрдө желдетүүнү жана абанын кыймылын оптималдаштыруу маселелери алыссы чет өлкөлүк окумуштуулардын эмгектеринде каралган: S. L. Miller (2021), T. L. Le (2022), Suhendi (2024), Вшивкова А. П. (2024), Hyung-Eun Park (2024), A. Lavrinenco (2025), Sudniks, R. (2025).

Бул иште жылуулук алмашуусун эске алуу менен оорукана палатасындагы абанын кыймылына басым үчүн коюлган чыгуудагы терс чек ара шартынын таасири изилденген. Жогоруда айтылгандар диссертациянын актуалдуулугун тастыктайт.

**Диссертациянын темасынын илимий программалар менен же илимий изилдөө иштери менен байланышы.** Жумуш ОшМУнун Математика, физика, техника жана маалыматтык технологиялар Институтунун эксперименталдык жана теоретикалык кафедрасында илимий-изилдөө иштеринин тематикасы боюнча иштелип чыккан.

**Изилдөөнүн максаты** – OpenFOAM тиркеме пакетинин алкагында бөлмөдөгү аба кыймылын мисалында струялык турбуленттүү агымдарды моделдөө ықмасын өркүндөтүү.

**Коюлган максатка жетүү үчүн төмөнкү маселелер чечилди:**

- турбуленттүү агымдардын сандык моделдештириүү ықмалары боюнча аналитикалык анализ жүргүзүп, аларды андан ары өркүндөтүүнүн мүмкүн болгон жолдорун аныктоо;
- колдонулган математикалык моделдин адекваттуулугун дубалга жакын жайгашкан турбуленттүү агымды сандык моделдештириүү аркылуу текшерүү;
- Рейнольдс санынын төмөн түшүүчү турбуленттүү агымдын жылыштуучу пластинаны муздатууга тийгизген таасириң моделдештириүү;
- кириүчү агымдын турбуленттүүлүк интенсивдүүлүгүнүн бөлмөнүн ичиндеги аба кыймылына тийгизген таасириң изилдөө;

- инфекциялык палатанын моделинде жылуулук алмашууну эске алуу менен, басым үчүн терс чыгуу чек ара шартынын аба кыймылына тийгизген таасириң моделдештируү.

### **Иштин алынган натыйжаларынын илимий жаңылыгы.**

1.  $3 \times 1 \times 1$  жана  $9 \times 3 \times 1$  өлчөмдөрүндөгү палаталардын моделдеринде геометриялык жактан окшош болгон эки вертикалдык кесилиштеги агымдардын окшоштугу алынган. Эксперименттик маалыматтар менен k-ω SST моделиндеги сандык эсептөөлөрдүн дал келиши интенсивдүүлүк 5% болгон учурда эң начар экени көрсөтүлдү.

2. Инфекциялык палатанын моделинде терс басым шартында абанын кыймылын уюштурууга чыгуу чек ара шартынын таасири сандык моделдөө жолу менен изилденди. Чыгуу басымынын мааниси -8 Па жана -16 Па болгондо, нөлдүк басымга салыштырмалуу орточо ылдамдыктын профили тиешелүүлүгүнө жараша 6% жана 24% га жогорулай турганы аныкталды.

3. Инфекциялык палатаны желдетүүнүн сунушталган схемасы, кыймылсыз бейтаптардын жайгашуусу менен, абанын ылдамдыгы 0.2 м/с ашпай турган керектүү ылдамдык ыңгайлуулугун камсыз кылышын көрсөтүлгөн.

### **Алынган натыйжалардын практикалык мааниси.**

Берилген диссертациялык ишти аткарууда алынган натыйжалар турбуленттүү струялык агымдарды математикалык моделдөө ыкмасына белгилүү өлчөмдө салым кошушат. Изилдөөнүн жыйынтыгы Кара-Суу аймактык «Курманжан Датка» ооруканасынын жугуштуу оорулар бөлүмүнүн ишмердүүлүгүнө жалпы палатадагы булгануучу заттарды чыгаруу жана желдетүү боюнча киргизилди.

Ошондой эле аларды магистранттар, жогорку курсун студенттери жана тийиштүү адистиктердин аспиранттары үчүн атайын курс катары окуу процессинде пайдаланууга мүмкүн болот.

### **Диссертациянын коргоого коюлуучу негизги жоболору:**

- Тегиз беттеги агымын моделдөөнүн жана жылдытуу плитасын муздатуунун натыйжалары.
- оорукаанын жугуштуу оорулар бөлүмүндө струялык агымды моделдөөнүн натыйжалары.

**Илимий жоболордун, натыйжалардын (тыянактардын) жана рекомендациялардын ырастыгы (төмөндөгүлөр менен) тастыкталат(камсыздалат):** маселенин туура коюлушу, математикалык моделдөө жана программалоо ыкмаларын, сандык методдорду негиздүү пайдалануу, заманбап компьютердик системанын жетишкендиктери, жүргүзүлгөн эсептөө эксперименттеринин жетиштүү көлөмү жана алынган сандык натыйжаларды жана тиешелүү эксперименттик жана эсептелген маалыматтарды салыштыруу.

**Изденүүчүнүн жеке салымы.** Диссертация автордун жеке изилдөөлөрүнүн жыйынтыгы болуп саналат. Автордун жеке салымы максатка жетүү ыкмаларын тандоодо, изилдөөлөрдү жүргүзүүдө, алынган

жыйынтыктарды талдоодо жана жыйынтыктарды формулировкаодо, ошондой эле макалаларды жарыялоодо болуп саналат.

**Изилдөө натыйжаларын аprobациялоо.** Бул диссертациялык ишти аткарууда алынган натыйжалар төмөнкү эл аралык жана республикалык конференцияларда жана семинарларда баяндалган:

- 8th Computational Methods in Systems and Software 2024, CoMeSySo 2024. Vsetin, Czech Republic, October 25-28, 2024.
- Профессор Багдаulet Кенжалиевдин 75 жылдыгына арналган “Илимдин чакырыктары” эл аралык практикалык конференциясы, Казахстан Республикасы, Алматы, 15-16-ноябрь, 2023-ж.
- XXIV Эл аралык илимий-практикалык конференция «Илим жана билим берүү: көйгөйлөр жана келечек», Россия, Алтай аймагы, 2022-жыл 15-апрели.
- II Эл аралык конференция ICMSIT-III 2022: Инновациялык технологиялардын метрологиялык камсыздалышы, Россия, Красноярск - Санкт-Петербург, 2022-жылдын 3-5-марты,
- IV Эл аралык илимий-практикалык конференция «Илим-техникалык жана билим берүү чөйрөсүндөгү маалыматтык технологиялар», КГУСТАнын жаңы маалыматтык технологиялар институтунун 20 жылдыгына арналган, Кыргыз Республикасы, Бишкек ш., 2021-жылдын 29-октябры.
- Эл аралык илимий конференция «Илимде жана тоо-кен техникалык билим берүүнүн маалыматтык технологиялары жана математикалык моделдөө», Кыргыз Республикасынын Улуттук илимдер академиясынын академиги, физика-математика илимдеринин доктору Жайнаков Аманбекке 80 жылдыгына арналган, Кыргыз Республикасы, Бишкек ш., 2021-жылдын 6-8-октябры.

• XIV, XV жана XVII Эл аралык Азия мектеби-семинары «Татаал системалардын оптимизациясынын көйгөйлөрү», Казакстан, Алматы, 2018-жылдын 30-31-июлу; Новосибирск, Россия, 2019-жыл, 2021-жыл.

**Диссертациянын жыйынтыктарынын басылмаларда** чагылдырылышынын толуктугу. Изилдөөнүн негизги жыйынтыктары 11 илимий макалада жана 2 автордук күбөлүктө, анын ичинде Scopus (1), РИНЦ (3), IF -0.173(1) маалымат базасына кирген Кыргыз Республикасынан тышкары илимий журналдарда басылып чыккан.

**Диссертациянын структурасы жана көлөмү.** Диссертация кириш сөздөн, 3 бөлүмдөн, жыйынтыктан, практикалык сунуштардан, пайдаланылган адабияттардын тизмесинен жана тиркемелерден турат. Иш 136 беттен турат, анын ичинде 38 сүрөт, 17 таблица, 77 библиографиялык булак жана 5 тиркеме камтылган.

## **ДИССЕРТАЦИЯНЫН НЕГИЗГИ МАЗМУНУ**

**Киришүүде** теманын актуалдуулугу негизделип, изилденип жаткан маселенин коюлушу, изилдөөнүн максаттары жана милдеттери формулировкаланып, эмгектин илимий жаңылыгы жана практикалык мааниси көрсөтүлдү. Кысылбоочу суюктуктун агымдарын, алардын артыкчылыктарын жана кемчиликтерин моделдөөдө азыркы мамилелер талкууланат.

Диссертациянын түзүлүшү жана негизги мазмуну, бөлүмдөр боюнча кыскача баяндады.

**Бириңчи бап – Адабияттарга сереп.** Аба ағымдарынын кыймылын моделдөөнүн заманбап ықмалары боюнча адабияттарга сереп жүргүзүлдү. Бул ықмалар аргасыз конвекцияны жана жылуулук алмашууну эске алуу менен турбуленттүү ағымдарга негизделген.

**Экинчи бап – «Изилдөөнүн методологиясы жана ықмалары»** OpenFOAM пакетинин негизинде контролдук көлөмдөр ыкмасын колдонуу менен жалпыланган өзгөрмө үчүн жалпыланган тенденции дискретизациялоо ықмалары каралды.

Турбуленттүү струялык ағым **изилдөөнүн объективиси** болуп саналат.

**Изилдөөнүн предмети** - инфекциялык палата моделинде терс чек ара шарттарынын аба кыймылына тийгизген таасириң сандык моделдештируү.

Каралып жаткан маселени математикалык модели Рейнольдс боюнча орточолонгон Навье-Стокс тенденмелер системасына негизделген, ал үзгүлтүксүздүк, импульсту ташуу жана энтальпия тенденмелерин камтыйт:

$$\frac{\partial \rho}{\partial t} + \nabla(\rho \mathbf{u}) = 0 \quad (1)$$

$$\frac{\partial(\rho \mathbf{u})}{\partial t} + \nabla(\rho \mathbf{u} \mathbf{u}) = -\nabla p + \rho \mathbf{g} \beta(T - T_{ref}) + \nabla \left( 2\mu_{eff} D(\mathbf{u}) - \nabla \left( \frac{2}{3} \mu_{eff} (\nabla \cdot \mathbf{u}) \right) \right) \quad (2)$$

$$\frac{\partial(\rho h)}{\partial t} + \nabla \cdot (\rho \mathbf{u} h) + \nabla \cdot (\rho \mathbf{u} k) = \nabla \cdot (\alpha_{eff} \nabla h) + \rho \mathbf{u} \cdot g \quad (3)$$

$$h = \int_{T_0}^T C_p(T) dT; \quad \mu_{eff} = \mu + \mu_t; \quad \mu_t = \rho C_\mu k^2 / \varepsilon; \quad (4)$$

$$\frac{\partial(\rho k)}{\partial t} + \nabla \cdot (\rho \mathbf{u} k) = P_k - \rho \varepsilon + \nabla \cdot \left( (\mu + \frac{\mu_t}{\sigma_k}) \nabla k \right) \quad (5)$$

$$\frac{\partial(\rho \varepsilon)}{\partial t} + \nabla \cdot (\rho \varepsilon \mathbf{u}) = C_{1\varepsilon} \frac{\varepsilon}{k} P_k - C_{2\varepsilon} \rho \frac{\varepsilon^2}{k} + \nabla \cdot \left( (\mu + \frac{\mu_t}{\sigma_\varepsilon}) \nabla \varepsilon \right) \quad (6)$$

$$\frac{\partial}{\partial t} (\rho \tau) + \nabla(\mathbf{u} \tau) - \nabla \cdot \left( \frac{\rho \mu_{eff}}{\sigma_{eff}} \nabla \tau \right) = 1 \quad (7)$$

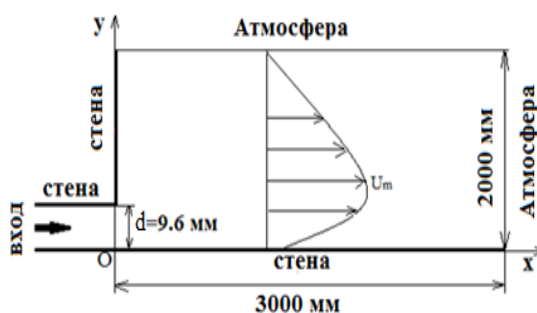
Ылдамдык, температура, басым жана башка чондуктар үчүн кирүүчү чек ара шарттары эксперименттик маалыматтарга негизделип аныкталат. Ағымдын турбуленттик мүнөздөмөлөрү үчүн чек ара шарттары дубалга жакын функциялар аппараты аркылуу берилет, ал эми дискретизациядан кийин алынган сзыяктуу алгебралык тенденмелер системасы PIMPLE(SIMPLE) алгоритминин жардамы менен чечилет (Launder and Spalding, 1974).

**Үчүнчү бап- Струялык турбуленттик ағымдарды сандык моделдештируү.** Бул бөлүмдө өзүбүздүн изилдөөбүздүн натыйжалары берилген.

**1-Маселе. Жалпак турбуленттүү дубалдын ағымынын сандык моделдөөсү.** Бул маселенин **максаты** турбуленттүү дубал ағымынын ылдамдык талааларын сандык жактан изилдөө болуп саналат.

**Маселенин коюлушу.** Бул иште жанаша жалпак турбуленттүү ағым үчүн математикалык моделдештируү жүргүзүлгөн. Алынган сандык эсептөөлөрдүн натыйжалары эксперименттик маалыматтар менен салыштырылган. Бул маалыматтар классикалык ERCOFTAC турбуленттик ағымдар базасынан

алынган жана төмөнкү изилдөөчүлөрдүн эмгектеринен алынган: Eriksson, J.G., Karlsson, R.I., Persson, J. (1998). Масштабын сактабастан, моделдештирилген маселенин схемасы жана эсептөө аймагынын чектери 3.1-сүрөттө көрсөтүлгөн.



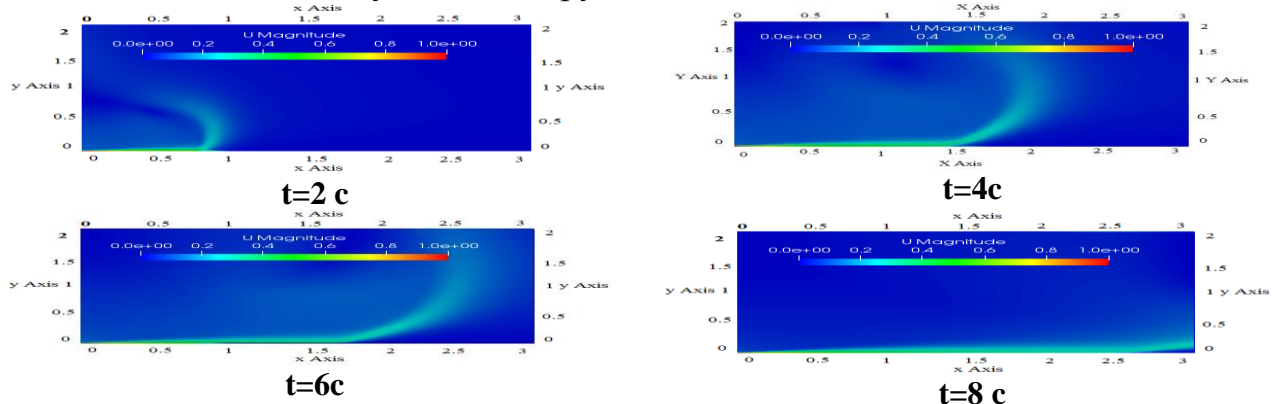
3.1-сүрөт . Маселенин геометриясы жана аймактын чек аралары

Болжолдуу узундугу  $l=3$  м, туурасы 2 м жана тегиздиктеги суу агымы агып жаткан түтүктүн бийиктиги 9.6 мм. Кирүүчү узунунан ылдамдыктын орточо мааниси аркылуу аныкталуучу Рейнольдс саны  $U_0=1$  м/с, суунун кинематикалык илешкеңтүүлүгүнүн коэффициенти  $\nu = 10^{-6}$  м<sup>2</sup>/с тбийиктиги  $d=0.0096$  м барабар.  $Re = \frac{U_0 d}{\nu}$ .

**Сандык модель.** «Атмосфера» 3.1-сүрөтүндө көрсөтүлгөн жогорку чектеги ылдамдык үчүн pressInletOutletVelocity шарты ылдамдык модулунун нөлдүк мааниси менен белгиленет. Басым шарты динамикалык басымды камтыган totalPressure катары берилет. Эсептөө доменинин дубалдарында ылдамдык үчүн тайгаланбоо шарты орнотулган ( ылдамдык OpenFOAM пакетинде noSlip чектик шарты менен аныкталган 0 м/с га барабар), басым үчүн нөлдүк градиент шарты коюлган. Маселе эки өлчөмдүү болгондуктан, алдыңкы «front» жана арткы «back» чектер үчүн атайын OpenFOAM чек шарты «empty» колдонулат.

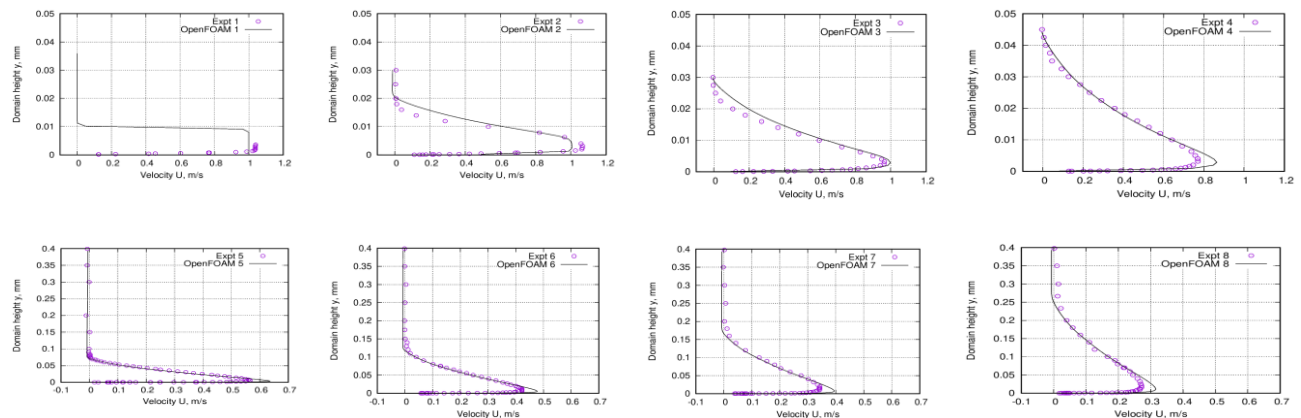
Турбуленттүүлүктүн кинетикалык энергиясынын мааниси кириште төмөнкүгө барабар  $k_{кир} = 1.5(u_0)^2 = 0.00015$  м<sup>2</sup>/с<sup>2</sup>,  $\omega_{inlet} = \varepsilon_{inlet}/k_{inlet} = 2.08$  с<sup>-1</sup> жана тиешелүү диссипация ылдамдыгы  $\varepsilon_{inlet} = (C\mu)^{0.75} (k_{inlet})^{1.5} / L = 0.093$  м<sup>2</sup>/с<sup>3</sup>, мында L – турбуленттик узундуктун шкаласы, жылчыктын бийиктигине карата алынган.

**Сандык эсептөөлөрдүн жана талкуулардын жыйынтыгы.** 3.2-сүрөттө Paraview пакетинин жардамы менен алынган t убакыттын ар кандай моментиндеги U ылдамдык модулунун талаалары көрсөтүлгөн. Ылдамдык векторунун талаасы бирдей эмес. Эгерде 4с убакытта струялык агым 1.5 м чекитке жетсе, анда 6с убакытта струялык агым x=1.7 м ге жетет.



3.2-сүрөт. Убакыттын ар кандай моментиндеги ылдамдык модулунун талаалары

Ар кандай сегиз түрдүү кесилиштердеги узунунан ылдамдыктын вертикалдык профилдерин  $x/d=0, 5, 10, 20, 40, 70, 100, 150$  төмөн агымдагы тиешелүү эксперименттик маалыматтар менен салыштыруу 3.3-сүрөттө көрсөтүлгөн. Бул сүрөттө маркерлер Eriksson J; Karlsson R.I; Persson J(1998) ишинин эксперименталдык маалыматтарына туура келет, түз сзыык - бул иштин сандык натыйжалары.



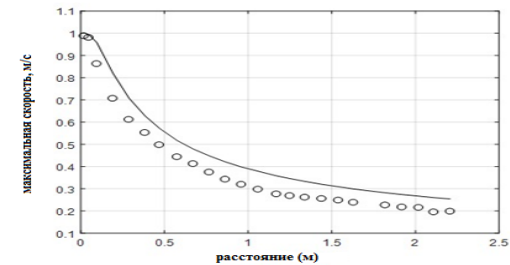
3.3-сүрөт. Ар түрдүү тилкелердеги узунунан кеткен ылдамдыктын вертикалдык профилдери

3.3-сүрөттө көрүнүп тургандай, узунунан ылдамдыктын туурасынан кеткен профилдери боюнча эсептелген жана эксперименталдык маалыматтардын ортосундагы дал келүүчүлүк кыйла жакшы деп эсептөөгө болот.  $x=0.048\text{m}$  кесилишке чейин эсептөөлөрдөгү максималдуу ылдамдык 8% га төмөндөгөн.  $x=0.096\text{m}$  кесилиште дал келүүчүлүк жакшы, бирок андан ары эсептөө 9%-13% чегинде узунунан ылдамдыктын ашыкча маанисин берет.

3.5-сүрөттө агымдын төмөн жагындағы ар кандай кесилиштердеги дубалга жакын агымдын максималдуу ылдамдыгынын өзгөрүү профили көрсөтүлгөн. Дубалга жакын агымдын максималдуу ылдамдыгы боюнча сандык эсептөөлөрдүн натыйжасы менен тиешелүү эксперименталдык маалыматтардын ортосундагы айырмачылык болжол менен 5% түзөт.

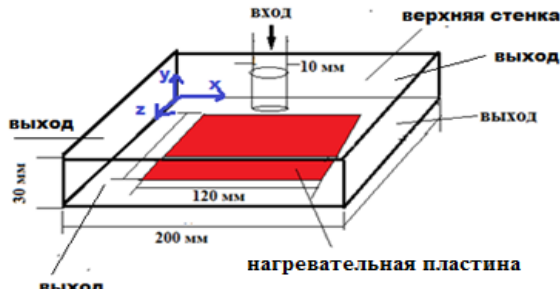
## 2-Маселе. Жылтыуу пластинасын сокку агымы менен муздатууну сандык моделдөө.

Бул маселенин **максаты** муздатуу процессине түшкөн турбуленттүү аба агымынын Рейнольдс санынын таасириң изилдөө. Диссертациялык иштин маанилүү аспектиси болуп ысытылган плита менен аба агымынын ортосундагы жылуулук алмашшуу процессинин математикалык моделинин адекваттуулугун текшерүү маселеси саналат.



3.6-сүрөт. Дубалга жакын струялык агымдын максималдуу ылдамдыгынын профили.

**Маселенин коюлушу.** Моделдештирилген маселенин диаграммасы жана эсептөө аймагынын чектери 3.7а-сүрөттө көрсөтүлгөн жана E. Baydar, Y. Ozmen (2006) эксперименталдык иштеринин геометриясына туура келет. 306К температурадагы аба агымы 39м/с ылдамдыкта диаметри 10мм болгон тегерек түтүк аркылуу 120мм×120мм өлчөмдүү квадраттык жумушчу аяңтка агып түшөт, бул Рейнольдс 24000 санына туура келет.



3.7а-сүрөт-Эсептөө аймагынын  
геометриясы

**Математикалык модели.** Карапып жаткан маселе убакыттын туундуларын эсепке албастан (3.1-3.4) тенденмелерге негизделген. Турбуленттүү пульсациялардын агымдын орточо ылдамдыгына таасири buoyantkEpsilon, kEpsilon, kOmega, kOmegaSST, RNGkEpsilon жана RNGkEpsilon турбуленттүү моделдерин колдонуу менен эске алынган.

**Сандык модель.** Эксперименттик шартка ылайык, тегерек струя вертикальдуу түтүк аркылуу 39 м/с ылдамдыкта берилип, ысытылган пластинадан урулгандан кийин аймактын 4 каптал бети аркылуу эсептик аймактан чыгат. Турбуленттүүлүктүн интенсивдүүлүгү бардык эсептөө учурлары үчүн 5%га барабар коюлган. Эксперимент  $3472.22 \text{ Вт}/\text{м}^2$  кубаттуулуктагы түрүктуу, бирдей жылуулук агымын пайда кылган жылытуу плитасын муздатууга багытталган. Түрүктуу градиентти эсептөө үчүн жылуулук агымы менен температура градиентинин ортосундагы байланышты эстеп көрөлү:  $q = \lambda \cdot |\nabla T|$ , мында  $\lambda$  алюминийдин жылуулук өткөрүмдүүлүк коэффициенти. Бул жерден  $\nabla T = q/\lambda = 3472.22 / 0.02699298 = 128634.09 \text{ К}/\text{м}$ . Кириште жана чыгышта белгиленген температуралык маанилер белгиленет, ал эми калган үч дубал zeroGradient абалына ээ, бул физикалык жактан алар аркылуу жылуулук алмашуунун жоктугун билдириет - дубалдардын адиабаттык абалы.

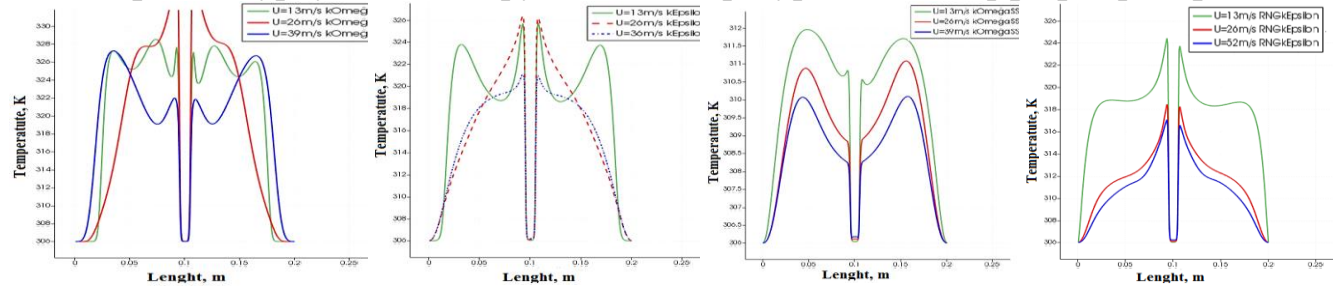
Эсептөөчү тордун каныккандыгынын таасирин изилдөө үчүн 5 түрдүү торчо боюнча эсептөөлөр жүргүзүлдү, алардын саны ар кандай контролдук көлөмдө: 368672, 556470, 830320, 1261230 жана 1856720 колдонулган 5 торчолордун, кабыл алынган жана убакыт боюнча сандык чечимдердин тактыгы, эң ылайыктуу Бул жалпы саны 1 261 230 уячадан турган эсептөөчү тор болуп чыкты жана төмөндө келтирилген сандык натыйжалар ушул эсептөө торуна өзгөчө дал келет.

**Сандык эсептөөлөрдүн жана талкуулардын жыйынтыгы.** Температура талаасынын алынган сандык маанилеринин ишенимдүүлүгү эки жол менен текшерилет. Бириңчиден, жумушчу аймактын орточо бийиктигинде

Бул маселенин максатына жетүү үчүн, түшкөн струялык агым үчүн ылдамдыктын төмөнкүдөй маанилери карапан - 13м/с, 19,5м/с, 26м/с, 39м/с, 52м/с, 58,5м/с, 78м/с. Бул 8000, 12000, 16000, 24000, 32000, 36000, 48000 Рейнольдс сандарына туура келет.

температуралык профилдердин симметриясынын абалын текшерүү менен - маселенин симметриялуу формулорукасынан улам, тиешелүү температуралык профилдер  $x = 0,1$  м чекитине карата симметриялуу болуш керек.

3.7-сүрөттө Ох огуна параллелдүү орточо бийиктигети сыйык боюнча, координаталары  $(0, 0.015, 0.1)$  жана  $(0.2, 0.015, 0.1)$  менен туташтыруучу чекиттер ар кандай мааниде ( $13\text{м}/\text{s}$ ,  $26\text{м}/\text{s}$ ,  $39\text{м}/\text{s}$ ) Рейнольдс саны 8000, 16000, 24000 түшкөн турбуленттик струянын температурасынын өзгөрүшү көрсөтүлгөн.



3.7-сүрөт. Турбуленттүүлүктүн ар кандай моделдери үчүн ылдамдык талаасынын белүштүрүлүшү

Минималдуу температурасы  $T = 306$  К чекит струянын токтоп калуу зонасы менен дал келерин көрүүгө болот. Ағылчак (струя) жылытуу пластиинкасына түшүп,  $x = 0.1$  м чекиттен эки тарапка тең дээрлик симметриялуу четтейт, мында токтоп калуу зонасы пайда болот. Бул 3.9-сүрөттө айкын көрүнүп турат, ал  $z=0.1\text{м}$  вертикалдык тегиздикте ылдамдык модулунун изосызыктарын көрсөтөт.

Бул сүрөттө эки карама-каршы багытта айланып,  $x=0.1\text{м}$  чекитке салыштырмалуу симметриялуу эки куюндун пайда болушу көрсөтүлгөн, борборлору ( $x \approx 0.035\text{m}$ ,  $x \approx 0.165\text{m}$ ) эки тараптан болжол менен  $x \approx 0.065\text{m}$  аралыкта жайгашкан.

Экинчилен, температура талаасынын алынган сандык маанилеринин ишенимдүүлүгү тиешелүү эксперименталдык маалыматтар менен салыштыруу жолу менен текшерилет. 3.6в таблицада. Температуранын сандык маанилерин жылытуу пластинасынын бетиндеги 21 чекитте өлтөнгөн эксперименталдык маалыматтар менен салыштыруу ( $y=0$  боюнча) каралып жаткан беш турбуленттүү моделдер үчүн берилген – buoyantkEpsilon, kEpsilon, kOmega, kOmegaSST, kEpsilonRNG Рейнольдс саны үчүн  $Re=24,000$ .

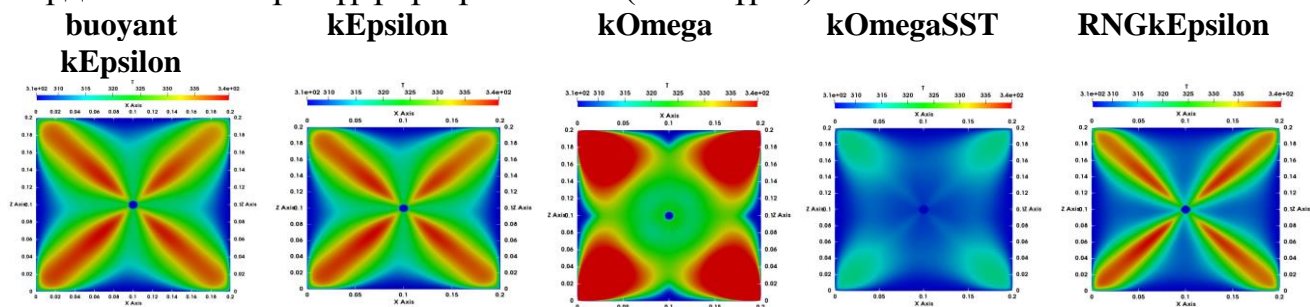
3.6 в-таблица.-Температураны салыштыруунун салыштырмалуу каталары

№	Эксперимент	buoyantkEpsilon	kEpsilon	kOmega	kOmegaSST	kEpsilonRNG
<b>1</b>	384.072	0.78839384	0.78891458	1.30756733	1.736393	3.159824
<b>2</b>	376.619	0.33004177	0.33774186	0.56157549	1.180238	0.187723
<b>3</b>	384.634	0.8077809	0.79088172	1.43071075	1.878149	2.628993
<b>4</b>	377.961	0.77759346	0.77759346	1.24748321	1.55016	1.664457
<b>5</b>	371.736	0.36719607	0.37230723	0.07693632	1.816612	0.372038

<b>6</b>	377.152	1.10194298	1.08842058	1.00834677	1.339513	1.605454
<b>7</b>	366.583	0.25887725	0.25996841	0.64514721	0.436463	0.190407
<b>8</b>	369.575	0.87641209	0.86829466	0.2316174	0.690793	0.625583
<b>9</b>	372.227	0.23990737	0.23480296	0.05587988	0.962316	0.496471
<b>10</b>	363.485	0.46962048	0.47072094	0.75766538	0.040442	0.203585
<b>11</b>	361.08	0.9493741	0.9493741	0.99617813	0.930819	0.759942
<b>12</b>	363.279	0.5257667	0.52439034	0.83186752	0.098547	0.255726
<b>13</b>	372.369	0.19469934	0.195505	0.05397871	0.99874	0.572282
<b>14</b>	370.473	0.62379715	0.6318949	0.05047601	0.929892	0.385723
<b>15</b>	365.941	0.42793784	0.42875764	0.82936867	0.259331	0.023228
<b>16</b>	377.982	0.86644338	0.87993608	1.24212264	1.553778	1.375462
<b>17</b>	372.365	0.19658131	0.19577565	0.07304661	0.995797	0.567454
<b>18</b>	377.741	0.83814042	0.83814042	1.15634787	1.489116	1.571977
<b>19</b>	384.456	0.81855921	0.834946	1.39573839	1.831679	2.681451
<b>20</b>	376.37	0.40252943	0.40093525	0.47479874	1.115657	0.170843
<b>21</b>	384.017	0.83303604	0.83173401	1.27416234	1.717111	2.937891
<b>Орточо каталык</b>	0.604506	0.604811	0.747667	1.121502	1.068405	

Бул 3.3в-таблицадан көрүнүп турганда, Н.Цукермандын, Н.Лиордун (2006) айткандарына карама-каршы келген көптөгөн турбуленттүү моделдердин ичинен kOmegaSST турбуленттүү ағылчак (струя) тоскоолдук менен кагылышканда жылуулук өткөрүмдүүлүк процесстерин эсептөө үчүн артыкчылыктуу турбуленттүүлүк модели болуп саналат. Колдонулган моделдердин ичинен buoyantEpsilon әң жакшы болуп чыкты, ал эми kOmegaSST турбуленттүү модели әң начар болуп чыкты.

Жүргүзүлгөн системалуу эсептөөлөрдүн негизинде жумушчу аймактын орточо бийиктигинин тегиздигинде абанын температурасынын талаасынын бирдей эмес бөлүштүрүлүшү алынган (3.10-сүрөт).



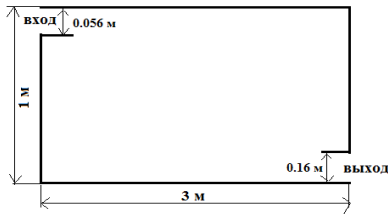
3.10-сүрөт - 39 м/с кириш ылдамдыгында температура талаасынын жер бетинде бөлүштүрүлүшү

Карапланган моделдердин ичинен төртөө болжол менен бирдей температура талаасын берет, ал эми kOmegaSST башка натыйжа берет - жылдытуу плитасы менен агымдын ортосундагы жылуулук алмашуу жогорулайт.

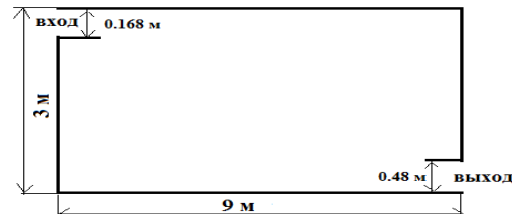
### 3-Маселе. Бөлмө моделиндеги абанын кыймылына кириш агымынын турбуленттүүлүгүнүн таасириң моделдөө.

Бул маселенин **максаты**  $3\text{m} \times 1\text{m} \times 1\text{m}$  жана  $9\text{m} \times 3\text{m} \times 1\text{m}$  өлчөмдүү эки геометриялык окшош бөлмө моделдеринде кириш агымынын турбуленттүүлүгүнүн даражасынын агым талаасына таасириң изилдөө болуп саналат.

**Маселенин коюлушу.** Туруктуу физикалык касиеттери бар газ модели менен сүрөттөлгөн туруксуз изотермиялык аба кыймылын карайбыз: тыгыздыгы  $\rho=1,204 \text{ кг}/\text{м}^3$ , динамикалык коэффициенттери  $\mu = 1.82 \times 10^{-5} \text{ Па} \cdot \text{с}$  жана кинематикалык илешкектүүлүк коэффициенти  $\nu = 1.51 \times 10^{-5} \text{ м}^2/\text{с}$ . Турбуленттүү аба агымы  $u_0 = 1.3 \text{ м}/\text{с}$  (3.11а-сүрөт) жана  $u_0 = 0.455 \text{ м}/\text{с}$  (3.11б-сүрөт) ылдамдыгы менен бөлмө моделине кирет.



3.11а-сүрөт.  $3\text{м} \times 1\text{м} \times 1\text{м}$  модельдин  
геометриясы

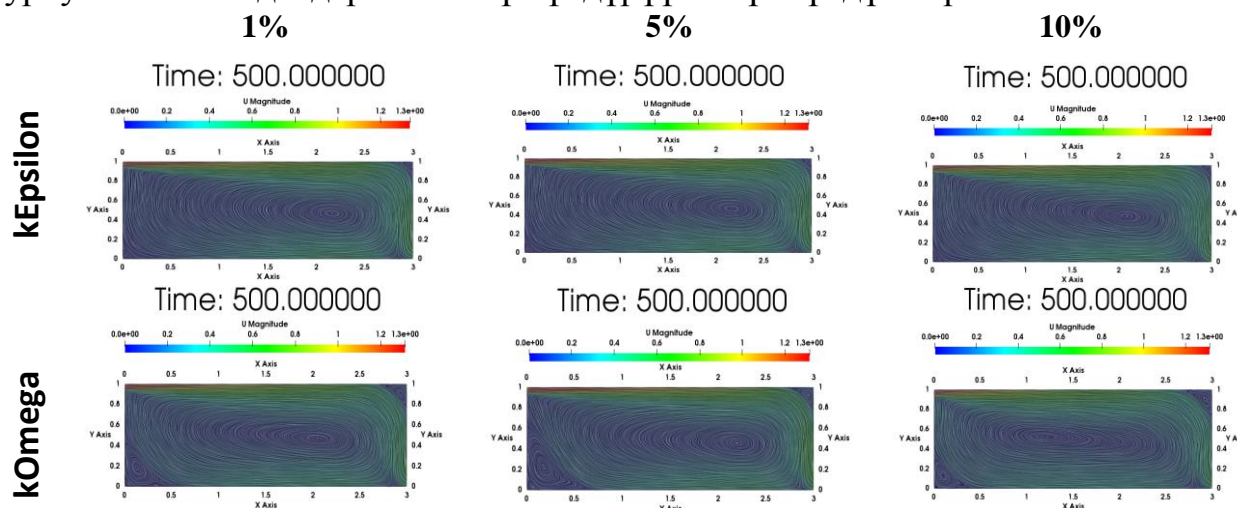


3.11б-сүрөт.  $9\text{м} \times 3\text{м} \times 1\text{м}$  модельдин  
геометриясы

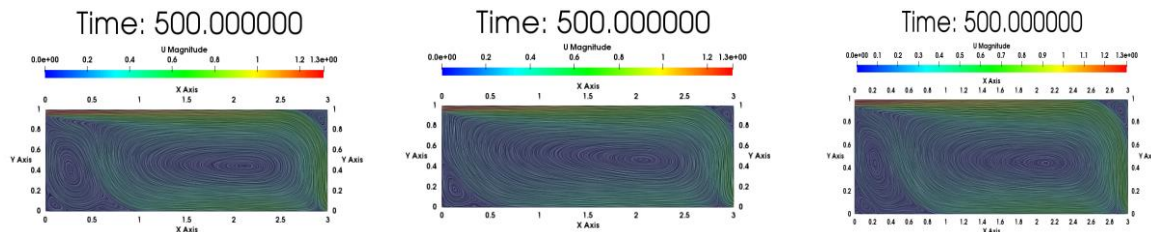
Биринчи модельдин бийиктиги  $H=1\text{м}$ , экинчи модельде  $H=3\text{м}$ , модельдердин узундугу тиешелүүлүгүнө жараза  $3\text{м}$  жана  $9\text{м}$ . Эсептөө доменинин жогорку сол бурчунда жайгашкан кире бериш тешиктин бийиктиги  $h = 0,056H$  барабар, оң дубалдын төмөнкү бурчуна жакын жайгашкан чыгуунун бийиктиги  $0,16H$  барабар. Эсептөө чөйрөсүнүн геометриялык өлчөмдөрү Restive A.M эксперименталдык иштерине туура келет (1979).

**Маселенин математикалык модели** kEpsilon, kOmega, kOmegaSST, kEpsilonRNG тиешелүү турбуленттүү модельдери менен толукталган (1-2) теңдемелерден турат.

**Сандык эсептөөлөрдүн жана талкуулардын жыйынтыгы.** Аба агымынын структурасы 3.12-сүрөттө көрсөтүлгөн, анда ар бир турбуленттүү модель үчүн убакыттын бирдей моменттери үчүн ылдамдык модулунун изолиниялары көрсөтүлгөн. Тор үч учурда тен бирдей, бул агымдагы айырмачылыктарды эки өлчөмдүү агымды жана турбуленттүүлүктүн интенсивдүүлүгүн 1%, 5% жана 10% болжолдоо үчүн колдонулган турбуленттик модельдер менен түшүндүрүүгө мүмкүндүк берет.



**kOmegaSST**



3.12-сүрөт – Ар түрдүү моделдер үчүн жана ар кандай интенсивдүүлүктөрдөгү ылдамдык модулунун изосызыктары

Төмөнкү сүрөттөрдө эки секциядагы узунунан кеткен ылдамдыктын вертикальдык профилдерин салыштырууна көрсөтүлгөн  $x=1H$  (3.13-сүрөт) жана  $x=2H$  (3.14-сүрөт).

модел  
и

**3x1**

**1 H**

**1%**

**5%**

**10%**

**kEpsilon**

**9x3**

**1 H**

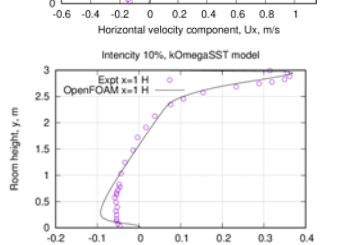
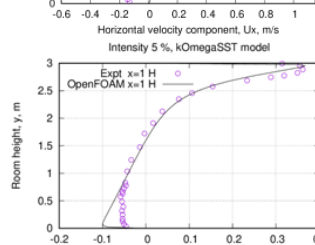
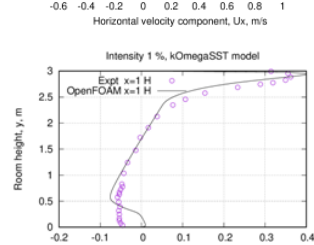
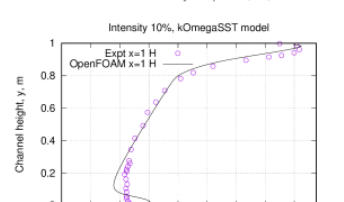
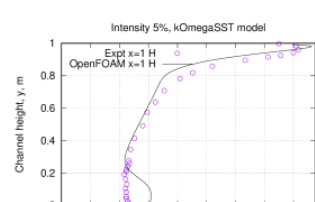
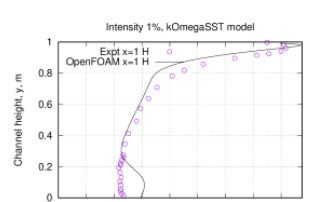
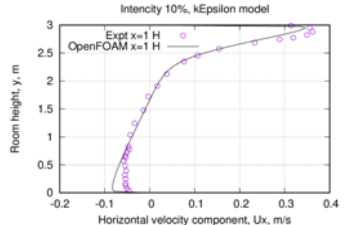
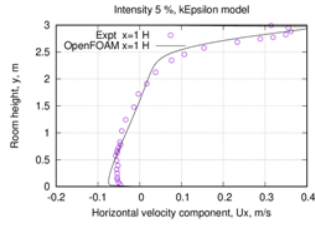
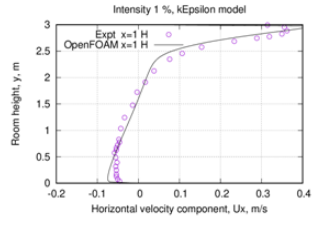
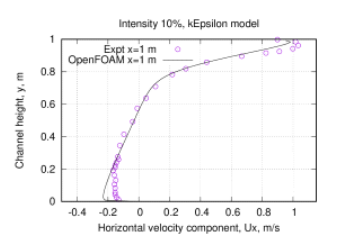
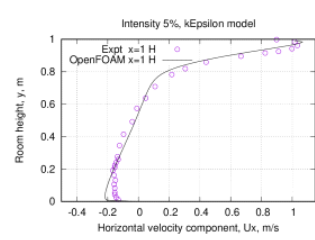
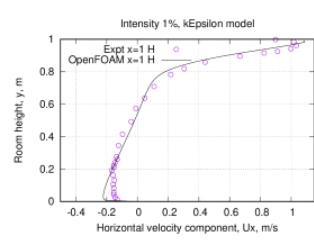
**3x1**

**1 H**

**9x3**

**1 H**

**kOmegaSST**



3.13-сүрөт.  $x = 1H$  кесилишиндеги орточо ылдамдыктын вертикальдык профилдері.

**1%**

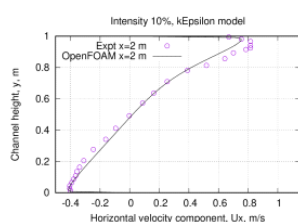
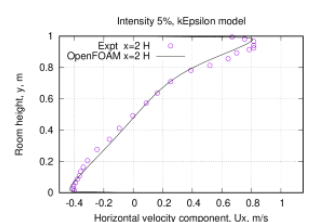
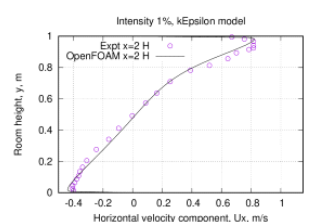
**5%**

**10%**

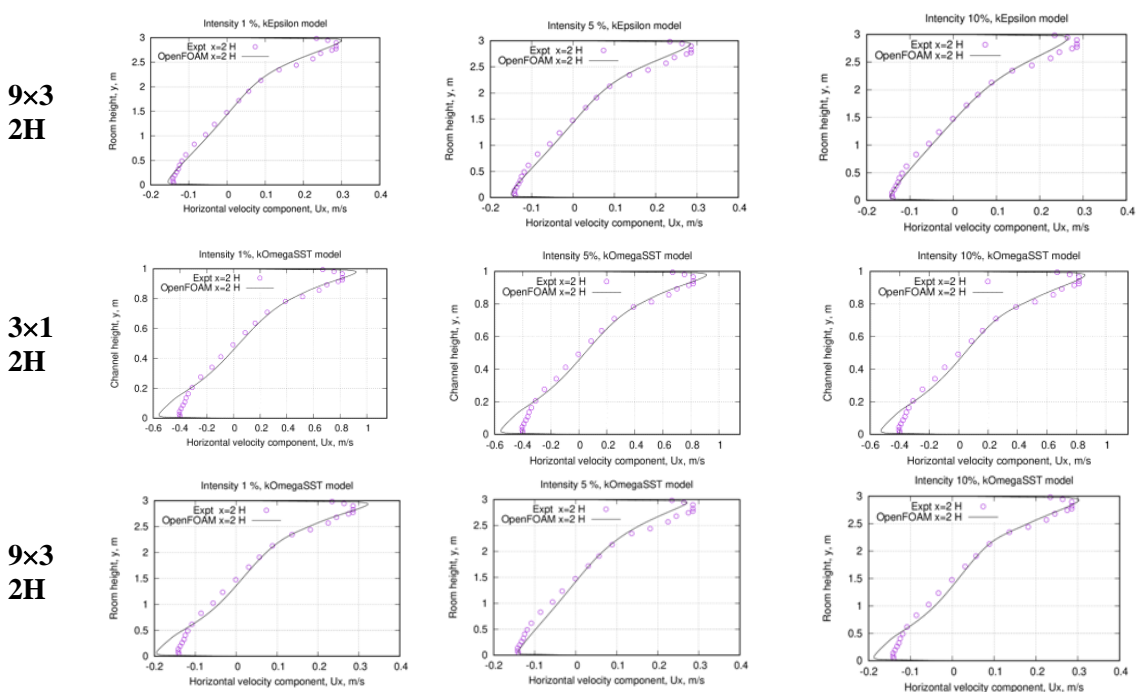
**kEpsilon**

**3x1**

**2 H**



## kOmegaSST



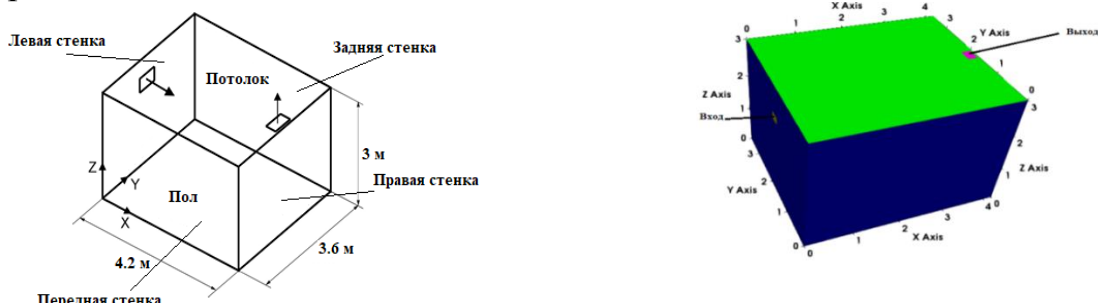
3.14-сүрөт.  $x = 2H$  кесилишиндеги орточо ылдамдыктын вертикальдык профилдері.

Эксперимент менен сандык эсептөөнүн ортосундагы дал келүүчүлүк  $k-\omega$  SST моделин 5% интенсивдүүлүктө колдонууда начарлайт. Биздин эсептөөлөр боюнча, тиешелүү каталар 9.4% барабар болгон.

### 4-Маселе. Бөлмөдөгү абанын жашоо убактысын сандык моделдөө

Бул маселенин **максаты** импульстун өтүү тенденцияндик конвективдик терминди дискреттөө ықмаларынын бөлмөдөгү аба ағымынын сапатына тийгизген таасириң сандык жактан изилдөө болуп саналат.

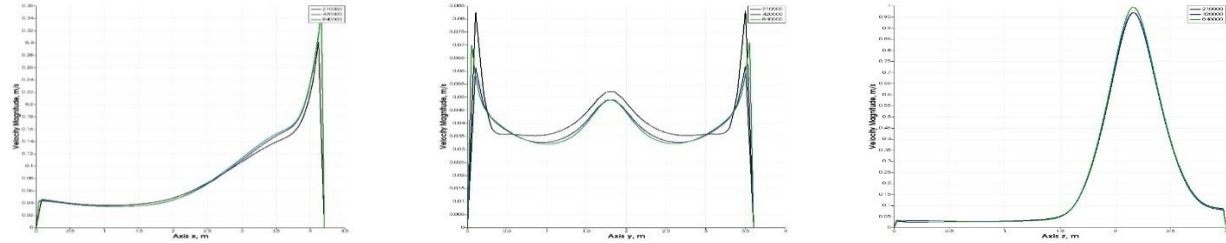
**Маселенин қоюлушу.** Өлчөмдерүү  $4.2 \text{ м} \times 3.6 \text{ м} \times 3.0 \text{ м}$  болгон тик бурчтуу бөлмөдөгү аба ағымынын кыймылын моделдештируү маселеси каралат (сүрөт 3.15). Өлчөмү  $0.3 \text{ м} \times 0.2 \text{ м}$  болгон аба кирүүчү тешик сол дубалда, полдон 2 м бийиктике жайгашкан. Тик бурчтуу кирүүчү тешиктин борбору (0, 1.8, 2.15) координатасында жайгашкан (сүрөт 3.16, сол жакта). Аба чыгуучу тик бурчтуу тешик шыпта, оң дубалта жакын жерде жайташып, өлчөмү  $0.3 \text{ м} \times 0.2 \text{ м}$  түзөт. Колдонулган математикалых моделдин ылайыктуулугу жана сандык жыйынтыктардын ишенимдүүлүгү Batrak M. жана башкалардын (2001) эмгегиндеги эксперименттик маалыматтар менен салыштыруу жолу менен текшерилет.



3.15-сүрөт. Бөлмөнүн гексаэдрдик модели (солдо) жана эсептөө домени (ондо)

Аба берүүчү агымдын орточо ылдамдыгы 1.68 м/с түзөт, ал эми анын температурасы 23°C ге барабар. Кирүү ылдамдыгы жана кирүүчү тешиктин аяты аркылуу эсептелген абанын көлөмдүк чыгымы эсеп аймагына киргенде төмөнкүчө болот:  $Q = U_{in} * S = 1.68 * 0.3 * 0.2 = 0.1008 \text{ m}^3/\text{c}$ . Эсептик аймактын көлөмү 45.36  $\text{m}^3$  түзөт.

**Сандык модель.** Эсептик торчонун каныгуу таасириң изилдөө үчүн эсептөөлөр ар кандай контрольдүк көлөмдөрдүн саны менен 4 түрдүү торчо үчүн жүргүзүлгөн: 210000, 420000 жана 840000. Үч эсептик торчо үчүн ылдамдык модулунун профилдеринин салыштыруусу 3.17-сүрөттө көрсөтүлгөн.



X огу боюнча

Y огу боюнча

Z огу боюнча

Колдонулган үч торчонун ичинен эсептөө убактысы жана сандык чечимдердин алгылыктуу тактыгы боюнча эң ылайыктуусу жалпы саны 840 000 уячадан турган эсептөөчү торчо болгон. Төмөндө берилген сандык натыйжалар бул эсептөө торчосуна туура келет.

**Сандык эсептөөлөрдүн жыйынтыктары жана талкуусу.** Аба жашынын сандык моделдөөнүн жыйынтыктарын 3.12-таблицасында берилген эксперименттик маалыматтар менен салыштыруу жетишерлик жакшы дал келүүнү көрсөтөт. Эң аз айырма Linear Upwind жана QUICK дискреттештируү схемалары үчүн байкалат, бул учурда салыштырмалуу ката болжол менен 12% түзөт. Бул тапшырмада эң начар схема — van Leer V, анын салыштырмалуу катасы 19.96% түзөт. Калган бардык дискреттештируү схемалары болжол менен 13.5% деңгээлинде окшош тактыкты камсыздайт, бул алынган сандык жыйынтыктардын ишенимдүүлүгүн жана колдонулган математикалык моделдин ылайыктуулугун кыйыр түрдө тастыктайт.

Таблица 3.12. - Абанын сандык жашын эксперименталдык маалыматтар менен салыштыруу

Experi- ment	Centered schemes			NVD		TVD schemes					Upwinded convection schemes			
	cubic	linear	midPoi- nt	Gamma	SFCD	limited Linear	minmo- d	MUSC L	vanLee- rV	filtered Linea- r2	linear Upwind	QUICK	upwind	
1 453.	472.70	472.70	472.70	474.09	474.73	476.3	475.61	473.94	611.90	472.70	486.41	486.41	611.90	
средняя ошибка, %	13.506	13.506	13.506	13.364	13.305	13.18	13.204	13.47	19.961	13.506	11.943	11.943	16.851	

## 5-Маселе. Инфекциялык палатанын моделинде абанын кыймылын моделдөө

Бул тапшырманын максаты — 6 м узундуктагы, 4 м тууrasы жана 2.6 м бийиктиктеги (караңыз сүрөт 3.18 а,б) инфекциялык палатанын моделиндеги абанын ылдамдык талаасына терс чыгыш басымдын таасириң изилдөө.



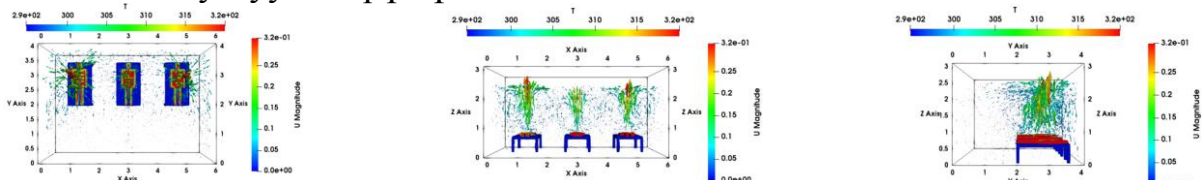
3.15-сүрөт . Үч бейтабы бар бөлмөнүн модели

3.15б-сүрөт. Бейтаптарды жайгаштыруу схемасы

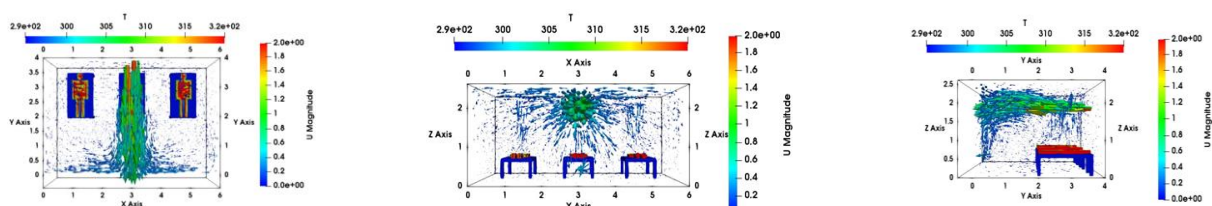
Координаттар системасынын башталышы сол капитал дубалдын төмөнкү жакынкы бурчунда жайгашкан. Кирүү жана чыгуу тешиктери  $0.5 \text{ м} \times 0.2 \text{ м}$  өлчөмүндөгү тик бурчтуу формага ээ. Кирүү тешигинин геометриялык борбору арткы дубалда, координаттары (3, 4, 2.2) болгон чекитте жайгашкан, ал эми чыгуу тешигинин борбору алдыңкы дубалдагы (3, 0, 0.5) чекитинде жайгашкан. Эсептик аймакка кирип жаткан атмосфералык аба агымынын температурасы 295.15 K түзөт.

**Сандык модель.** Массанын, импульстун жана энергиянын сакталуу мыйзамдарын сүрөттөгөн тенденмелерди дискретизациялоо башкаруу көлөмдөрү ыкмасы менен ишке ашырылган. Пациенттин денеси менен палатанын айланасындагы аба агымынын ортосундагы жылуулук алмашуу 2-тапшырманын аналогдору катары OpenFOAM пакеттериндеги externalWallHeatFluxTemperature чекит шартын колдонуу менен, туруктуу жылуулук агымы  $56.52 \text{ Вт}/\text{м}^2$  күчүндө ишке ашырылган.

**Сандык эсептөөлөрдүн жана талкуулардын жыйынтыгы.** Температурасы 295.15 K болгон атмосфералык абанын агымы кириш аркылуу белгилүү бир ылдамдыкта кирип, терс басым орнотулган чыгыш аркылуу моделден чыгат. 3.16-3.17-сүрөттөр чыгуу басымынын эки маанисinde ылдамдык вектордук талаасын көрсөтөт. Pout=0 Падан Pout = -4 Па га чейин басым үчүн чектик шартты азайтуу бүлмө моделиндеги бүтүндөй агымдын схемасынын олуттуу өзгөрүшүнө алыш келет.

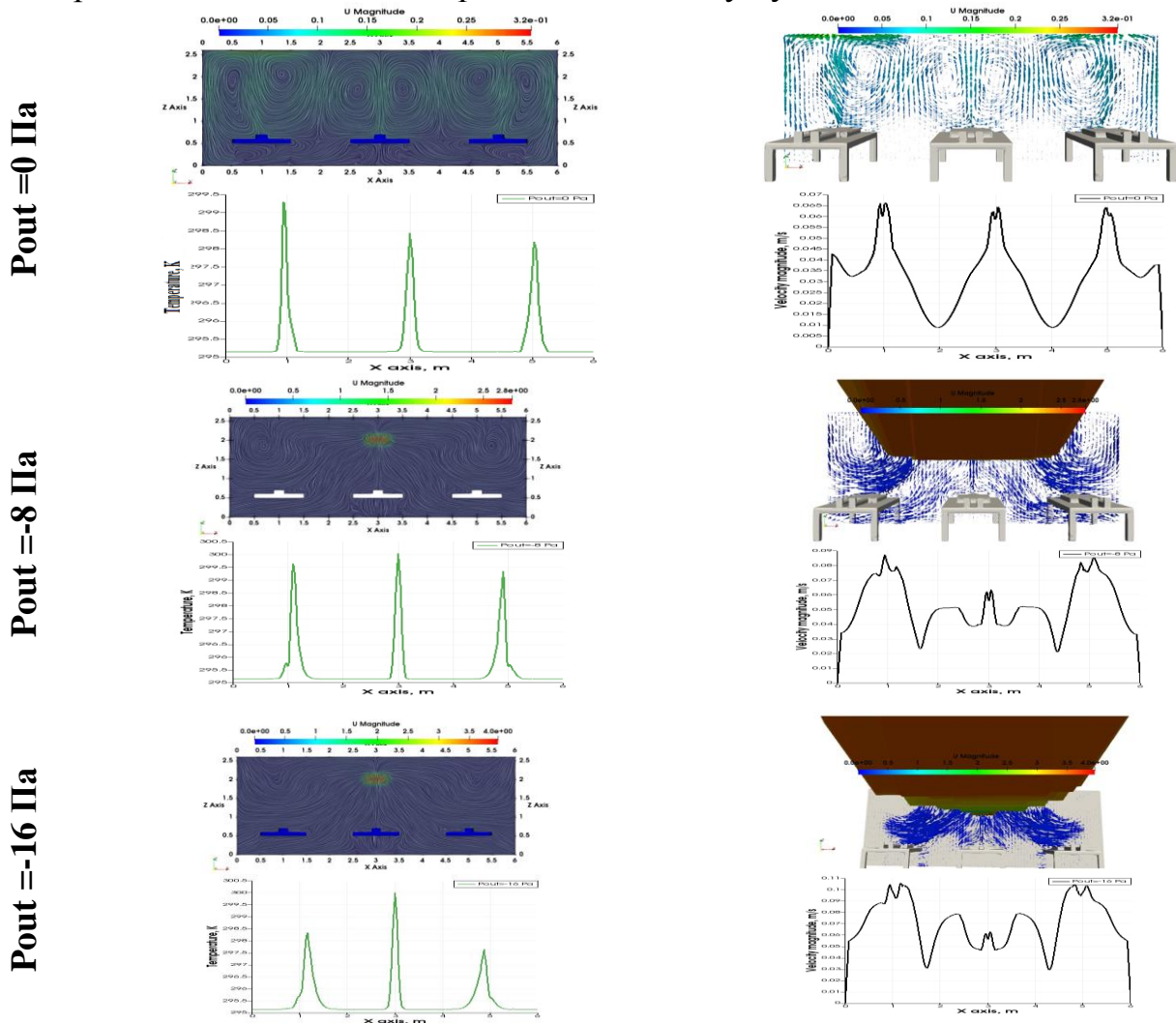


3.16-сүрөт - XoY (солдо), XoZ (орттодо) жана YoZ (он) тегиздигинде  $P_{out} = 0$  Па басымдагы ылдамдык вектордук талаасы.



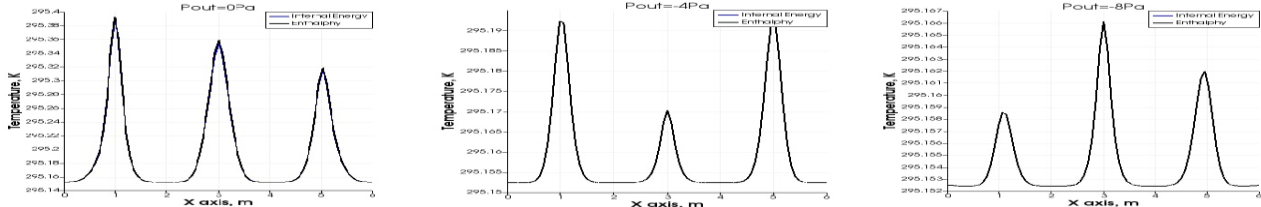
3.17-сүрөт - XoY (солдо), XoZ (орттодо) жана YoZ (он) тегиздигинде  $P_{out} = -4$  Па басымдағы ылдамдық вектордук талаасы.

3.17-сүрөттөн көрүнүп турғандай, алынган температуранын жана орточо ылдамдыктын (Ох оосунан бойлой) симметриялык узундукту профили максималдуу ката менен 2.69% жана 5.67% түзөт.  $P_{out} = 0$  Па учурда Рэйли-Бенар конвективдик клеткаларынын пайда болушу байкалат.

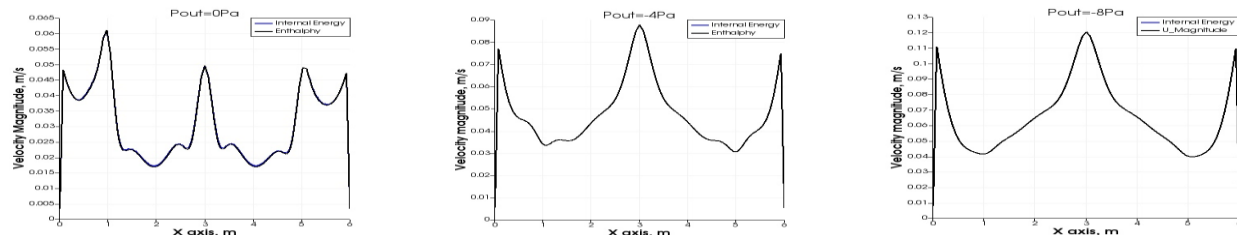


3.21-сүрөт. Изосызыктар жана ылдамдык талаасы, температура жана ылдамдык профилдері.

Бул графиктерди салыштыруу температура агымындагы максимумдардын сол жана он дубалдарга жакын жерден палатанын борбордук бөлүгүнө карай жылышып кетүүсүн көрсөтөт, бул таза эркин конвекциянын ( $P = 0$  Па) жагдайы менен салыштырганда байкалат. Бул жылышуу терс чыгуу басымынын күчөшү менен көбөйөт. 3.22-3.23-сүрөттөрдө температура жана ылдамдык боюнча узундукту профилдеринин эсептөө жыйынтыктарын эки термодинамикалык модель боюнча салыштыруу берилген, мында көк түс ички энергияны, ал эми кара түс энтальпияны билдирет. Профилдер Ох оосуна параллель горизонталдуу сызык боюнча алынган жана палатанын геометриялык борбору аркылуу өтөт.



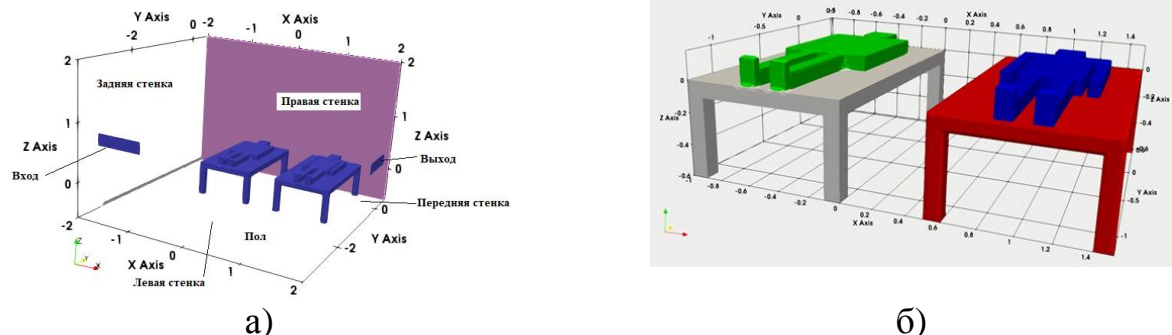
3.22-сүрөт-Ар кандай басымдагы температура профили



3.23-сүрөт - Ар кандай басымдагы ылдамдык модулунун профили

Pout = 0 Па дан Pout = -8 Па га чейин түшүрүү палатанын моделиндеги агымдын бардык сүрөтүнүн олуттуу өзгөрүүлөрүнө алыш келет. Температуранын аба агымындагы эсептөөлөрү үчүн OpenFOAM пакетинде эки термодинамикалык модель колдонулуп, сандык эсептөөлөр жүргүзүлдү. Жалпы алганда, модельдердин ортосундагы дал келүү абдан жакшы, бирок x = 0.5 м, x = 2 м, x = 4 м жана x = 5 м кесилиштеринде 1.8% ашпаган кичине айырмачылыктар байкалат.

**6-Маселе. Инфекциялык палатанын моделинде стационардык эмес аба кыймылын моделдөө.** Бул тишин максаты — 4×4×2.6 м өлчөмүндөгү инфекциялык палатанын моделиндеги стационардык эмес аба агымындагы ылдамдык талаасына чыгуу басымынын таасирин изилдөө (3.27а,б-сүрөт).



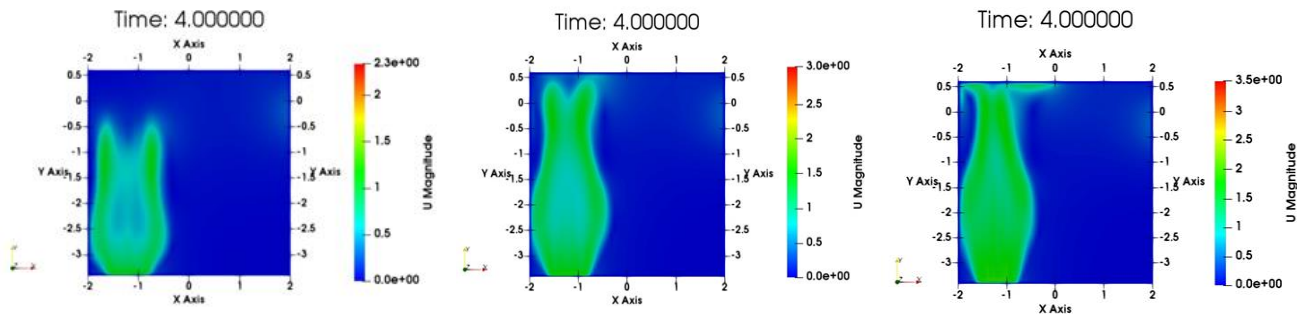
3.24-Сүрөт – Маселенин геометриясы (а) жана керебети бар пациенттер (б)

**Маселенин коюлушу.** Кирүү жана чыгуу тешиктери 0.8 м × 0.2 м өлчөмүндөгү тик бурчтуу формага ээ, ал эми чыгуу тешиги оң каптал дубалда жайгашкан. Эсептик аймакка кирип жаткан атмосфералык аба агымынын температурасы 295.15 K түзөт. Маселеде абанын стационардык эмес желдетүү процессинин сапатын аныктоо, ал үчүн ылдамдык жана абанын жашынын модулун салыштыруу керек. Бул салыштыруулар эки чекитте жүргүзүлөт, алардын координаттары (-0.5 0.4 0.1) жана (1.0 0.4 0.1), бул чекиттер эки пациенттин жүздөрүнө жакын жайгашкан.

**Сандык модель.** Ылдамдык модулунун жана басымдын баштапкы маанилери нөлгө барабар, эсептик аймакта агымдын температурасы 295.15 K түзөт. Кирүү басымы  $4.5 \times 10^{-5}$  Па деп кабыл алынган, ал эми чыгуу басымы  $4.5 \times 10^{-5}$  Па, -4Pa, -8Pa, -12Pa жана -16 Pa болуп аныкталган. Кирүү

температурасы 295.15 К, ал эми чыгуу, керебет жана палатанын дубалдарында температура үчүн адиабаттык шарт коюлган — чектөө аркылуу жылуулук алмашуу жок. Пациенттин бетиндеги температураларын чек ара шарты 2-маселедей коюлган, пациенттин денесинен палатанын айланасындагы аба агымына  $56.52 \text{ Вт}/\text{м}^2$  түрүктүү жылуулук агымы бөлүнүп чыгып жаткандыгы эске алынат.

**Сандык эсептөөлөрдүн жыйынтыктары жана талкуусу.** Аба агымынын ылдамдыгынын модулунун талаасы горизонталдуу тегиздикте  $z = 0.7 \text{ м}$  келтирилген, ал төмөнкү бөлүгү кирүү тешигинин жанына тийиш. Бул тегиздик аркылуу чыгуу тешигинин астындагы чекиттин бөлүгү өтөт. Бул жерде, чыгуу чегиндеги басымдын мааниси  $-4 \text{ Па}$  болгондо, тик бурчтуу агымдын төмөнкү чекитинин бөлүнүшү ачык байкалат.



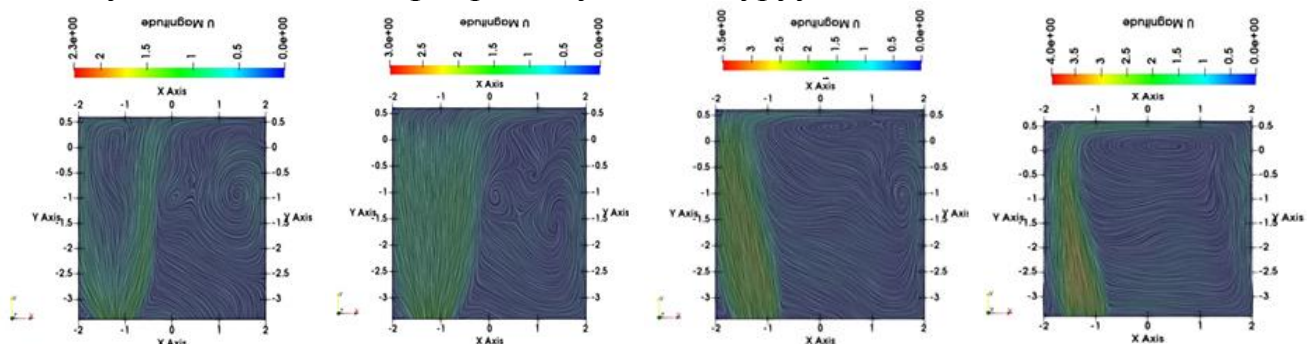
**Pout= - 4 Па.**

**Pout= - 8 Па.**

**Pout= - 12 Па.**

3.25-Сүрөт - Ар түрдүү басымдардагы  $z = 0.7 \text{ м}$  тегиздиктеги ылдамдык модулунун талаасы.

Жагдай үчүн, инфекция палатасынын модельинин чыгуу басымы  $-12 \text{ Па}$  болсо, агымдын сүрөтү таптакыр башкача – бул жерде агымдын алды фронтуун төмөнкү четинин бөлүнүшү жок. Струянын салыштырмалуу чоң ылдамдыгынын натыйжасында анын формасы дээрлик симметриялуу бойдон калат, бул 3.28-сүрөттө так көрсөтүлөт. Кийинки 3.26-сүрөттөрдө рециркуляция зонасы так көрүнет, анын интенсивдүүлүгү инфекция палатасынын модельинин басымы үчүн терс чыгуучу чек ара шарттын модулунун жогорулашы менен өсөт, бул агымды бөлмөнүн арткы дубалына бурууга алып келет.



**Pout=-4Па.**

**Pout=-8Па.**

**Pout=-12Па.**

**Pout=-16Па.**

3.26-сүрөт — Ар кандай басымдардагы  $z = 0.7 \text{ м}$  тегиздигиндеги ылдамдык модулунун изолиниялары.

Бөлмө моделинин чыгыш бөлүгүндө чек ара шарты катары терс басымдын абсолюттук маанисинин көбөйшү бөлмөнүн желдетилишин жакшыртарын көрсөткөн. Бирок, бул өз кезегинде ылдамдык модулунун 0.2 м/сден жогорулашина алып келип, бул бейтаптарда сквозняк сезимин жаратат.

**Корутундулар** диссертацияда алынган негизги жыйынтыктарды берет.

**Тиркемеде** 2 ишке киргизүү актысы, программалык колдонмо боюнча Кыргызпатенттен алынган 2 күбөлүк, ошондой эле ар түрдүү конференцияларга катышкандыгын тастыктаган 4 сертификат келтирилген.

## **КОРУТУНДУ**

Диссертациянын негизги натыйжалары төмөнкүлөр:

1. Өлчөмдөрү  $3 \times 1 \times 1$  жана  $9 \times 3 \times 1$  бөлмө моделдеринде эки геометриялык окшош вертикалдуу кесилиштерде агымдардын окшоштугу алынган. Эксперименталдык маалыматтар менен сандык эсептөөлөрдүн ортосундагы окшоштук  $k-\omega$  SST моделинде 5% интенсивдүүлүктө эң начар экендиги көрсөтүлгөн.

2. Терс басымдагы жугуштуу оорулар бөлүмүнүн моделинде абанын кыймылын уюштурууга басым үчүн чыгуу чек ара шартынын таасирин сандык моделдөө жүргүзүлдү. Инфекциялык палатанын моделиндеги чыгуу басымынын терс маанилери боюнча орточо ылдамдык профили нөлдүк чыгуу басымына салыштырмалуу, тиешелүүлүгүнө жараша -8 Па жана -16 Па 6% жана 24% көбөйөрү аныкталган.

3. Кыймылсыз бейтаптарды жайгаштыруу менен жугуштуу оорулар бөлүмүндө колдонулуучу желдетүү схемасы керектүү ылдамдыктын ыңгайлуулугун камсыздай тургандыгы - абанын ылдамдыгы 0.2 м/с ашпаганы көрсөтүлгөн, бул бөлмө эргономикасы боюнча эл аралык стандарттын талаптарына жооп берет.

## **БАСЫЛЫП ЧЫККАН ЭМГЕКТЕРДИН ТИЗМЕСИ:**

1. **АбдимуталиповаЗ.К.** Имплементация пристеночных функций в пакете OpenFOAM. [Текст] / Курбаналиев А.Ы., Абдимуталипова З.К., Полот кызы Гулмира. // Вестник Ошского государственного университета, Ош, Кыргызстан, №1, 2018, стр. 103-106. – То же: [Электронный ресурс]. – Режим доступа: <https://elibrary.ru/item.asp?id=32795571>

2. **АбдимуталиповаЗ.К.** Моделирование осесимметричного струйного течения [Текст] / Абдимуталипова З.К., Курбаналиев А.Ы., Калбекова М.Ж., Сулайманова Г.К. // в сборнике: Проблемы оптимизации сложных систем материалы XIV Международный Азиатской школы-семинар.2018г. Издательство: Институт информационных и вычислительных технологий МОН РК 2018г. Ст:68-72. – То же: [Электронный ресурс]. – Режим доступа: <https://elibrary.ru/item.asp?id=37014603>

3. **АбдимуталиповаЗ.К.** Моделирование методом крупных вихрей воздушно струйного теплообмена при умеренных числах Рейнольдса [Текст] / Абдимуталипова З.К., Курбаналиев А.Ы. // в сборнике: Проблемы оптимизации сложных систем материалы XIV Международный Азиатской школы-семинар.2019г. Издательство: Институт информационных и вычислительных

технологий МОН РК 2019г. Ст:3-9. – То же: [Электронный ресурс]. – Режим доступа: <https://elibrary.ru/item.asp?id=41540162>

4. **Абдимуталипова З.К.** Численное моделирование нестационарного ламинарного обтекания кругового цилиндра. [Текст] / Курбаналиев А.Ы., Абдимуталипова З.К., Марс кызы Таттыбубу., Калмурзаева А.Т. // Вестник Ошского государственного университета, Ош, Кыргызстан, №1, 2021, стр. 166-175. – То же: [Электронный ресурс]. – Режим доступа: <https://elibrary.ru/item.asp?id=46561758>

5. **Абдимуталипова З.К.** Численное моделирование падающей из круглого сопла струи с использованием OpenFOAM [Текст] / Абдимуталипова З.К., Курбаналиев А.Ы. // в сборнике: Проблемы оптимизации сложных систем материалы XVII Международный Азиатской школы-семинар.2021г. Издательство: Институт информационных и вычислительных технологий СО РАН 2021г. Ст:5-9. – То же: [Электронный ресурс]. – Режим доступа: <https://cyberleninka.ru/article/n/chislennoe-modelirovaniye-padyayushey-iz-kruglogosopla-strui-s-ispolzovaniem-openfoam>

6. **Абдимуталипова З.К.** Численное моделирование сверхзвуковых струйных течений с использованием RANS и LES моделей [Текст] // Горный журнал, КГУ геологии, Бишкек, Кыргызстан, №2, 2021, стр. 9-12. – То же: [Электронный ресурс]. – Режим доступа: <https://elibrary.ru/item.asp?id=47387097>

7. **Абдимуталипова З.К.** О численном моделировании ударного струйного теплообмена [Текст] // Вестник Ошского государственного университета, Ош, Кыргызстан, №1, 2021, стр. 142-150. – То же: [Электронный ресурс]. – Режим доступа: <https://elibrary.ru/item.asp?id=46580155>

8. **Абдимуталипова З.К.** Численное моделирование турбулентных струйных течений [Текст] // Вестник КГСТУА им. Н. Исanova. – 2022. – № 1 (75). – с. 197-201.– То же: [Электронный ресурс]. – Режим доступа: <https://vestnikksucta.kg/2022-2/>

9. **Abdimatalipova Z.K.** Numerical simulation of a flat turbulent near-wall jet in the OpenFOAMv7 package [Текст] Scopus: IOP Publishing Conference Series Journal of Physics: Conference APITECH III 2022. – То же: [Электронный ресурс]. – Режим доступа: <https://iopscience.iop.org/article/10.1088/1742-6596/2373/2/022019>

10. **Абдимуталипова З.К.** Численное моделирование взаимодействия турбулентной падающей струи с врачающимся диском [Текст] // Наука и образование: проблемы и перспективы.– Бийск, –2022. № 1– стр.24-29. – То же: [Электронный ресурс]. – Режим доступа: [http://www2.bigpi.biysk.ru/nir2016/file/kedbxit\\_15\\_09\\_2022\\_08\\_51\\_06.pdf](http://www2.bigpi.biysk.ru/nir2016/file/kedbxit_15_09_2022_08_51_06.pdf)

11. **Абдимуталипова З.К.** Программа для численного моделирования распространения пассивного скаляра в горизонтальном струйном течении [Текст] / Курбаналиев А.Ы., Абдимуталипова З.К. // Кыргыз патент. Авторское свидетельство. Программа для ЭВМ. 2022г., №737, 15.03.2022. – То же: [Электронный ресурс]. – Режим доступа: <http://new2.patent.kg/wp-content/uploads/2022/08/%D0%98%D0%9C-62022.pdf>

12. **Абдимуталипова З.К.** Численное моделирование плоской турбулентной пристенной струи в пакете OpenFOAMv7 [Текст] / Абдимуталипова З.К., Курбаналиев А.Ы. // Кыргыз патент. Авторское свидетельство. Программа для ЭВМ. 2022г., №738, 15.03.2022. – То же: [Электронный ресурс]. – Режим доступа: <http://new2.patent.kg/wp-content/uploads/2022/08/%D0%98%D0%9C-62022.pdf>

13. **Abdimatalipova Z.K.** Numerical simulation of turbulent airflow in a room using the OpenFOAM package[Текст]Web of science// Institute of Metallurgy and Ore Beneficiation, Satbayev University, Almaty, Kazakhstan. Issue VI, –2023. pp. 145-150. <https://doi.org/10.31643/2023.17>

**Абдимуталипова Зейнуратанының «Струялык турбуленттик ағымдарды сандық моделдештируү» темасындагы 01.02.05-суюктуктун, газдын жана плазманын механикасы адистиги боюнча физика-математика илимдеринин кандидаты илимий даражасын алуу үчүн жазылган диссертациясынын  
РЕЗЮМЕСИ**

**Ачкыч сөздөр:** турбуленттүү ағым, жылуулук өткөрүмдүүлүк, бөлмөдөгү терс басым, түшүү ағымы, дубал ағымы, buoyantSimpleFoam, OpenFOAM.

**Изилдөөнүн обьектиси:** турбуленттүү струялык ағым.

**Изилдөөнүн предмети** болуп оорукананын палатасында аргасыз конвекциянын таасиригин сандық изилдөөсү саналат.

**Изилдөөнүн максаты** бөлмө моделиндеги аба кыймылынын мисалын колдонуу менен OpenFOAM тиркеме пакетинин алкагында турбуленттүү струялык ағымдарды моделдөө ыкмасын иштеп чыгуу болуп саналат.

**Изилдөө ыкмалары.** Турбуленттүү струялык ағымдарды сүрөттөгөн стационардык жана стационардык эмес, Рейнольдс боюнча орточо алынган үч өлчөмдүү Навье-Стокс тенденциелеринин сандық интеграциясы.

**Алынган натыйжалар жана алардын жаңылыгы.**

- $3 \times 1 \times 1$  жана  $9 \times 3 \times 1$  өлчөмдүү бөлмөнүн моделдердеги ағымдардын геометриялык жактан окшош эки вертикалдык кесилишинде окшоштугу алынды.  $k-\omega$  SST модели үчүн эксперимент менен сандық эсептөөнүн ортосундагы дал келүүчүлүк 5% интенсивдүүлүктө эң начар экендиги көрсөтүлгөн.

- терс басымдагы инфекциялык палатанын моделинде абанын кыймылын уюштурууга басымга чыгуу чектик шартынын таасирин сандық моделдөө жүргүзүлдү. Инфекциялык палатанын моделинин чыгуу басымынын терс маанилеринде -8Па жана -16Па орточо ылдамдык профили нөлдүк чыгуу басымына салыштырмалуу 6% жана 24% көбөйөрү аныкталган.

- Үч бейтапка ылайыкталган жугуштуу оорулар бөлүмүнүн сунуш кылынган конструкциясы керектүү ылдамдыктын ыңгайлуулугун камсыздай турганы – абанын ылдамдыгы 0.2 м/с ашпаганы көрсөтүлгөн.

**Колдонуу көлөмү же колдонуу боюнча сунуштар.** Изилдөөнүн натыйжалары жылуулук алмашуу процесстерин эске алуу менен инфекциялык

бөлмөнүн моделинде абанын кыймылын уюштуруу үчүн пайдаланылыши мүмкүн.

**Колдонуу чөйрөсү.** Изилдөөнүн натыйжалары терс басымдагы инфекциялык бөлүмдөрдүн моделинде абанын кыймылын оптималдаштыруу максатында Кара-Суу аймактык ооруканасынын жугуштуу оорулар бөлүмүнүн ишмердүүлүгүнө киргизүү үчүн сунушталышы мүмкүн.

## РЕЗЮМЕ

**диссертации Абдимуталиповой Зейнурой Каныбековны на тему:  
«Численное моделирование струйных турбулентных течений» на  
соискание ученой степени кандидата физико-математических наук по  
специальности 01.02.05 – “Механика жидкости, газа и плазмы”**

**Ключевые слова:** Турбулентный поток, теплопроводность, отрицательное давление помещения, падающая струя, пристеночная струя, buoyantSimpleFoam, OpenFOAM.

**Объект исследования:** турбулентное струйное течения.

**Предметом исследования** является численное моделирование влияния отрицательных граничных условий на движение воздуха в модели инфекционной палаты.

**Целью исследования** является развитие метода моделирования струйных турбулентных течений в рамках прикладного пакета OpenFOAM на примере движения воздуха в помещении.

**Методы исследования.** Численное интегрирование осреднённых по Рейнольдса трёхмерных уравнений Навье-Стокса, описывающих струйные турбулентные течения.

**Научная новизна полученных результатов работы.**

- Получено подобие течений в моделях палат с размерами  $3 \times 1 \times 1$  и  $9 \times 3 \times 1$  в двух геометрически подобных вертикальных сечениях. Показано, соответствие между экспериментальными данными и численным расчётом для модели k-ω SST является наихудшим при интенсивности 5%.

- Проведено численное моделирование влияния выходного граничного условия для давления на организацию движения воздуха в модели инфекционной палаты с отрицательным давлением. Установлено, что профиль средней скорости увеличивается на 6% и 24% при отрицательных значениях выходного давления модели инфекционной палаты -8Па и -16Па соответственно, по сравнению с нулевым выходным давлением.

- Показано, что предложенная схема инфекционной палаты с размещением трёх пациентов обеспечивает необходимый скоростной комфорт – скорость воздуха не превышает значения 0.2м/с.

**Степень использования или рекомендации по использованию.** Результаты исследования могут быть использованы для организации движения воздуха в модели инфекционной палаты с учетом процессов теплообмена.

**Область применения.** Результаты исследования могут быть предложены для внедрения в деятельности инфекционного отделения Карасуйской территориальной больницы с целью оптимизации движения воздуха в моделях инфекционных палат с отрицательным давлением.

## SUMMARY

**dissertation of Abdimutalipova Zeynur Kanybekovna on the topic:  
"Numerical modeling of turbulent jet flows" for the degree of candidate of  
physical and mathematical sciences in the specialty 01.02.05 - "Mechanics of  
liquids, gas and plasma".**

**Key words:** Turbulent flow, thermal conductivity, a negative pressure isolation space, falling jet, wall jet, buoyantSimpleFoam, OpenFOAM.

**Object of study:** turbulent jet flow.

**The subject of the study** is numerical modeling of the influence of negative boundary conditions on air movement in a model of an infectious diseases ward.

**The purpose of the study** is to develop a method for modeling turbulent jet flows within the framework of the OpenFOAM application package using the example of air movement in the infectious ward of the Karasu Territorial Hospital.

**Research methods.** Numerical integration of stationary and nonstationary, Reynolds-averaged three-dimensional Navier-Stokes equations describing turbulent jet flows.

### Scientific novelty of the obtained results.

- The similarity of flows in chamber models with dimensions  $3 \times 1 \times 1$  and  $9 \times 3 \times 1$  in two geometrically similar vertical sections was obtained. It is shown that the agreement between experiment and numerical calculation for the k- $\omega$  SST model is worst at an intensity of 5%.
- Numerical modeling of the influence of the outlet boundary condition for pressure on the organization of air movement in a model of an infectious diseases ward with negative pressure was carried out. It was found that the average velocity profile increases by 6% and 24% at negative values of the outlet pressure of the infectious diseases ward model of -8 Pa and -16 Pa, respectively, compared to zero outlet pressure.
- It has been shown that the proposed design of an infectious diseases ward with accommodation for three patients provides the necessary speed comfort - the air speed does not exceed 0.2 m/s.

**Extent of use or recommendations for use.** The results of the study can be used to organize air movement in a model of an infectious disease ward, taking into account heat exchange processes.

**Application area.** The results of the study can be proposed for implementation in the activities of the infectious diseases department of the Karasuy territorial hospital in order to optimize air movement in models of infectious diseases wards with negative pressure.

